网络出版时间: 2023 - 05 - 31 09: 48: 20 网络出版地址: https://kns.cnki.net/kcms2/detail/34. 1065. R. 20230529. 1633. 017. html

4种品系小鼠角质形成细胞原代培养比较研究

关艳玲 章萍萍 陈 秀 蔣励萍 魏 伟 冯 旸

摘要目的体外分离、培养并鉴定成年小鼠背部皮肤角质 形成细胞(KC);对比4种品系小鼠KC的增殖与分化能力。 方法 剪取4种品系成年小鼠背部皮肤 剥离皮下脂肪组 织 0.25% 胰蛋白酶消化获得 KC; 免疫荧光法鉴定 KC; 显微 镜下观察细胞生长状况;设计不同的种板时间和密度,使用 CCK-8 法、EdU 和高内涵法检测细胞增殖活力; 通过 Western blot 检测 4 种成年小鼠 KC 分化情况。结果 对 4 种品系成 年小鼠背部相同面积的皮肤组织进行胰蛋白酶消化,昆明 (Kunming KM) 小鼠提取的 KC 数量最低 ,C57BL/6 提取的 细胞数量最多; $BALB/c \times KM \times$ 裸小鼠分别以 8×10^3 个/孔的 密度铺板增殖效率较高 ,C57BL/6 以 1.6 × 104 个/孔的密度 铺板增殖效率较高; 4 种品系小鼠 ,BALB/c 小鼠原代 KC 较 C57BL/6 小鼠原代 KC 增殖能力弱 ,分化程度差异无统计学 意义。结论 采用简便易行的方法成功分离并比较 4 种成 年小鼠背部皮肤原代 KC 的增殖和分化能力,为皮肤相关疾 病模型小鼠的品系选择提供一定实验依据。

关键词 角质形成细胞;原代培养;小鼠表皮;增殖;分化中图分类号 R 322.99

文献标志码 A 文章编号 1000 - 1492(2023) 06 - 0989 - 07 doi: 10.19405/j. cnki. issn1000 - 1492.2023.06.019

皮肤是一个复杂的器官,由表皮、真皮和皮下脂肪组织构成^[1-2]。表皮细胞主要由角质形成细胞(keratinocyte,KC)构成,从基底层到角质层,KC呈现不同的增殖、迁移和分化等新陈代谢过程^[3]。因小鼠背部皮肤生理结构与人类皮肤相似,所以常被

2023 - 03 - 15 接收

基金项目: 国家自然科学基金(编号: 81502123、81673444); 安徽省高校科学研究项目(编号: KJ2019A0234); 出生人口健康教育部重点实验室开放课题(编号: JKZD20212); 抗炎免疫药物教育部重点实验室开放课题(编号: KFJJ-2020-12、KFJJ-2021-09); 皮肤病学教育部重点实验室开放课题(编号: AYPYS2021-2)

作者单位: 安徽医科大学临床药理研究所 抗炎免疫药物教育部重 点实验室 安徽抗炎免疫药物协同创新中心 安徽医科大 学类风湿关节炎研究中心 / 合肥 230032

作者简介: 关艳玲 ,女 .硕士研究生;

马 旸 女 博士 副教授 硕士生导师 责任作者 E-mail: mayang_ahmu @ 126. com;

魏 伟 男 博士 教授 博士生导师 ,责任作者 ,E-mail: wwei@ ahmu. edu. cn 用于皮肤相关动物实验中^[4]。原代 KC 提取方法主要包括: 中性蛋白酶消化法、胰蛋白酶消化法、中性蛋白酶和胰蛋白酶联合消化法以及嗜热菌蛋白酶消化法^[5-7]。胰蛋白酶作用于基底层细胞和棘层细胞,作用强度大 经济有效且操作最为简单方便。选择哪种品系的小鼠提取原代 KC 最合适尚未有明确的研究 该研究选用 4 种品系的成年小鼠背部皮肤,使用胰蛋白酶消化法获取原代 KC 比较其增殖和分化能力,为皮肤相关疾病模型小鼠的品系选择提供一定的实验依据。

1 材料与方法

- 1.1 实验动物 8 周龄 BALB /c、C57BL/6、KM 的 雄性小鼠各 5 只,由安徽医科大学实验动物中心提供。5 只 8 周龄雄性 BALB /c 遗传背景裸小鼠,由 江苏集萃药康生物科技股份有限公司提供,生产许可证号: SCXK(苏) 2018-0008 ,使用许可证号: SYXK(苏) 2018-0027。
- 1.2 主要试剂 胰蛋白酶消化液(含 0. 25% 胰酶和 0. 02% EDTA)、青 链霉素抗菌溶液和 BeyoClick™ EdU-488 细胞增殖检测试剂盒(上海碧云天生物技术有限公司); 154 完全培养基和生长因子(美国 Gibco 公司); DAPI 染色液及防荧光淬灭封片液(北京索莱宝生物公司); CCK-8(上海陶素生化公司); keratin 14(K14) 抗体(美国 Proteintech 公司)。
- 1.3 主要仪器 Infinite M1000 PRO 多功能酶标仪购自瑞士 Tecan 公司; Image Xpress Micro 4 型高内涵细胞成像分析仪购自美国 Molecular Devcies 公司。
- 1.4 成年小鼠背部皮肤表皮与真皮分离 8 周龄 BALB /c、C57BL/6、KM、裸小鼠 ,剔除小鼠背部毛发 脱毛膏涂抹 3 min 后去除 ,暴露皮肤组织 ,异氟烷吸入处死。器械经高压灭菌后使用 ,所用试剂无菌 ,全程无菌超净台中操作 ,避免细胞污染。剪取背部皮肤 ,修剪成约 3 cm×3 cm 正方形 ,表皮朝下 ,用无菌注射器针头固定在锡箔纸包裹的泡沫盒上 ,手术刀小心快速清理皮下脂肪组织和血管。75% 乙醇

清洗 1 次 ,含双抗的 dPBS 清洗 3 次。表皮向上放置在 25 cm^2 培养皿中 ,加入适量胰蛋白酶消化液 4 ° / 1

- 1.5 成年小鼠背部皮肤表皮 KC 分离与原代培养 取消化后的皮肤至无菌超净台 ,手术刀剥离表皮 细胞 转移表皮细胞至 1.5 ml EP 管中 ,加 1 ml 含 2% 血清的 dPBS 剪碎后先后通过 70、40 μm 细胞过滤网 ,用 2% dPBS 重悬细胞至 50 ml 离心管中 ,同时用 5 ml 注射器软活塞研磨; 1 800 r/min 离心 5 min 弃上清液 ,1 ml 154 完全培养基缓缓吹打重悬细胞 移入 1.5 ml EP 管中 ,计数。接种于 6 孔板 ,48 h 后换液 ,用倒置显微镜对培养的原代 KC 进行观察 ,并拍照记录。
- 1.6 原代 KC 鉴定 4% 多聚甲醛固定 30 min; 加 0.1% TritonX400 通透 5 min; 5% BSA 封闭 30 min; 加入抗体 K14 4% 孵育过夜; 加荧光二抗室温避光孵育 1 h; DAPI 染细胞核 孵育 5 min; 正置显微镜观察细胞染色情况并拍照。
- 1.7 CCK-8 法检测不同品系、不同种板密度原代 KC 活力 原代 KC 以每孔不同梯度的细胞密度接种于 96 孔板。37 $^{\circ}$ C、5% CO $_{2}$ 培养箱中孵育,在不同时间加入 CCK-8 试剂与培养基 1:10 的混合液,孵育 3 h 酶标仪测量 $450~\mathrm{nm}$ 处的吸光度。
- 1.8 EdU 法检测原代 KC 增殖 原代 KC 以每孔 3.2×10⁴ 的密度接种于 24 孔板 ,培养 5 d 后 ,加入 EdU 工作液孵育 2 h; 4% 多聚甲醛固定 30 min; 0.3% Triton-X100 通透 15 min; 加入 Click 反应液室 温避光孵育 30 min; Hoechst 染核避光孵育 10 min ,显微镜下拍照。
- 1.9 高内涵细胞成像法检测测原代 KC 增殖 原代 KC 以每孔 8×10³ 密度接种于96 孔板 培养72 h后 弃培基加 PBS 洗涤细胞;4% 多聚甲醛固定 30 min 加 DAPI 染核 孵育5 min; PBS 洗涤后用高内涵细胞成像系统拍照 统计细胞总数。
- 1.10 Western blot 法检测原代 KC 分化 原代 KC 以每孔 2×10^5 密度接种于 6 孔板 培养 48 h后 换液 继续培养 48 h; 弃培基加入蛋白裂解液 冰上 裂解 30 min 转移至 1.5 ml EP 管中 加入 $5 \times$ 上样 缓冲液 金属浴煮蛋白 8 min; 进行蛋白免疫印迹检测表达情况。
- 1.11 统计学处理 使用 SPSS 17. 0 软件、Graph-Pad Prism 6. 0 软件进行统计学分析和图形绘制。实验数据均以 $\bar{x} \pm s$ 表示,多组间差异比较采用单因素方差分析(ANOVA),P < 0.05为差异有统计学意

义。

2 结果

- 2.1 4 种不同品系的成年小鼠背部皮肤 KC 原代 分离培养的对比
- 2.1.1 胰蛋白酶消化法对 4 种品系成年小鼠背部皮肤消化时间比较 胰酶消化法分离 4 种品系成年小鼠背部表皮和真皮时,消化时间影响分离效果。胰蛋白酶分别消化 BALB/c、C57BL/6、KM、裸小鼠4种品系小鼠背部皮肤 16、14、18、16 h 时 手术刀片轻刮,可见表皮与真皮之间的连接开始松散 部分表皮与真皮分离。随着消化时间的增长,达到最适消化时间,可完整剥离表皮,刮下一层致密排列的半透明状薄层细胞,此时细胞状态最佳。当 4 种品系小鼠背部皮肤消化时间分别超过 24、22、26、24 h 后,此时手术刀片可轻刮下一层柔软絮状无韧性细胞团 细胞存活率低。消化时间比较见表 1。

表 1 胰酶消化法对 4 种品系成年小鼠背部皮肤消化时间比较

小鼠品系	开始消化	最大消化	 最适消化
	时间(h)	时间(h)	时间(h)
BALB/c	16	24	20 ~ 22
C57BL/6	14	22	16 ~ 20
KM	18	26	20 ~ 24
裸小鼠	16	24	18 ~ 24

- 2.1.2 提取 4 种品系成年小鼠背部 KC 获得的数量对比 利用胰蛋白酶消化相同面积($3~cm \times 3~cm$)的小鼠背部皮肤 20~22~h 消化后 过滤获得 KC 悬液 1~800~r/min 离心 5~min~1~ml $154~完全培养基重悬可得原代 KC。经计数可知 C57BL/6 小鼠来源的原代 KC 细胞数量最多 ,KM 小鼠来源的原代 KC 细胞数量最少 ,消化获得 BALB/c、C57BL/6、KM、裸小鼠原代 KC 的细胞个数分别为 <math>4.2\times10^6$ 、 4.8×10^6 、 3.6×10^6 、 4.0×10^6 个/ml。
- 2.1.3 4种品系成年小鼠背部 KC 形态学观察 提取的原代 KC 铺板 48 h 后 ,显微镜下可观察到 3种形态的 KC ,包括悬浮的死亡细胞 ,半贴壁状态的圆形的 KC ,以及贴壁状态的鹅卵石样 KC。原代培养8 d 后 ,镜下可见多数鹅卵石样 KC ,少量椭圆、扁平状、中心有较大突出的细胞核 ,胞质面积大的处于分化后期的 KC。见图 1。
- 2.2 原代 KC 的免疫荧光鉴定 分化蛋白 K14 是表皮基底层 KC 的阳性标志物。将提取的原代 KC 通过免疫荧光染色检测细胞 K14 表达情况 ,镜下可

见胞质绿色荧光为阳染细胞 ,结果显示提取的细胞 为基底层 KC ,符合 KC 特征 ,小鼠背部原代 KC 分离 成功。见图 2。

2.3 4 种品系原代 KC 最适宜接种密度的比较将提取的 4 种品系成年小鼠背部原代 KC ,以不同接

种密度接种于 96 孔板。CCK-8 结果显示 ,BALB/c、 KM、裸小鼠来源的原代 KC 以 8×10^3 个/孔的密度 铺板增殖效率较高 ,而以 1.6×10^4 个/孔、 3.2×10^4 个/孔的密度铺板时 ,此时的增殖活力低于以 8×10^3 /孔的密度铺板的增殖活力 ,提示铺板细胞密度

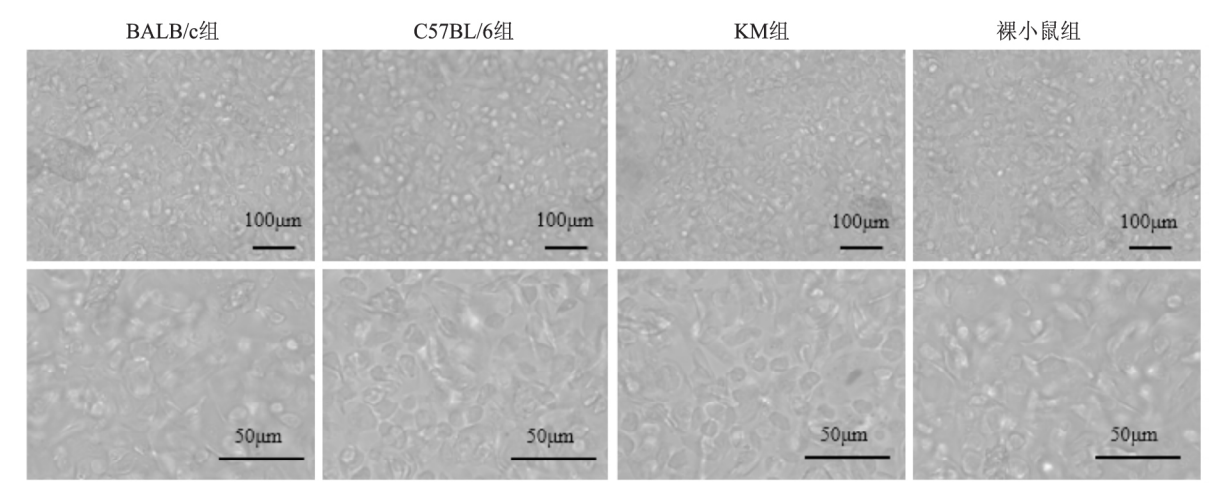


图 1 4 种品系成年小鼠原代 KC 生长状况 第一排 ×100; 第二排 ×200

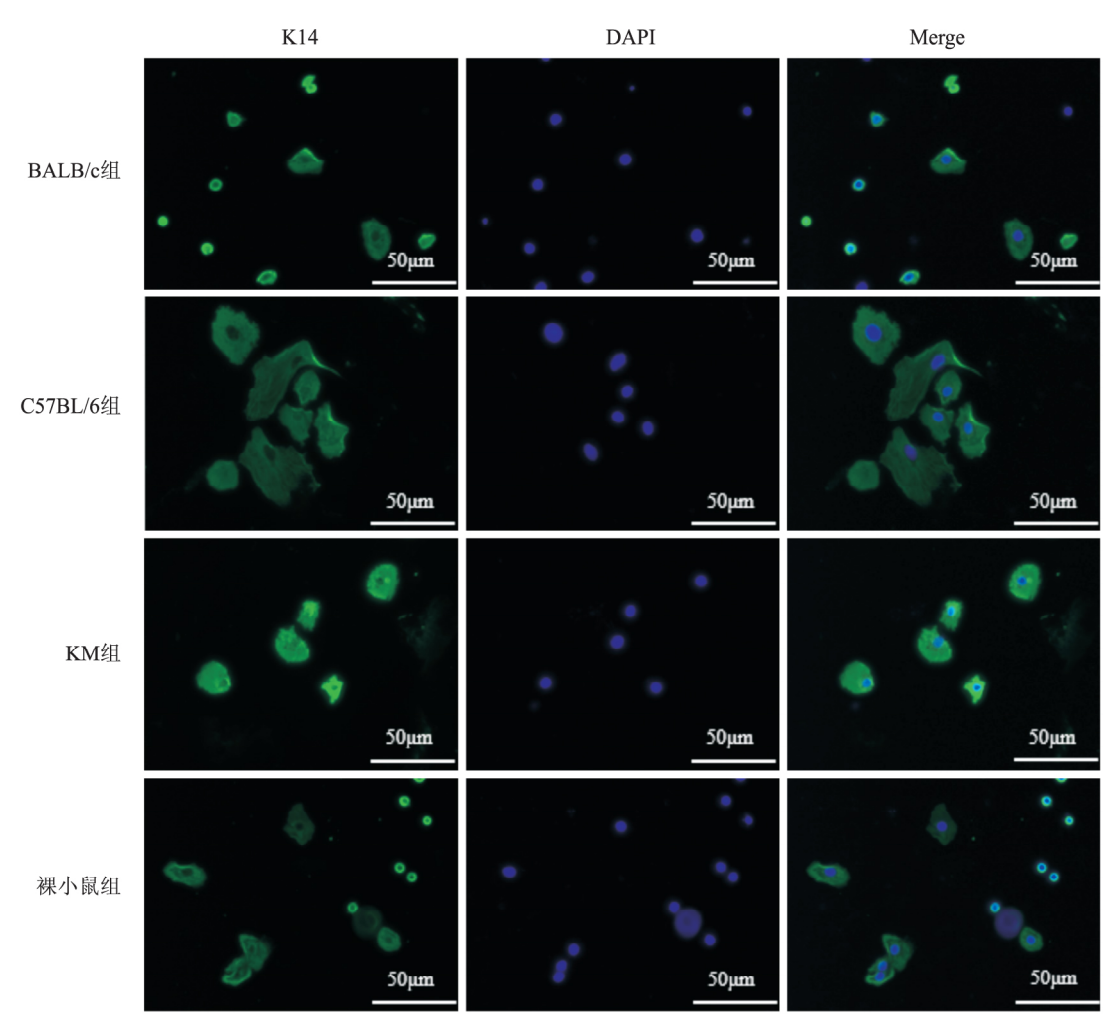


图 2 免疫荧光检测原代 KC 中 K14 表达 ×200

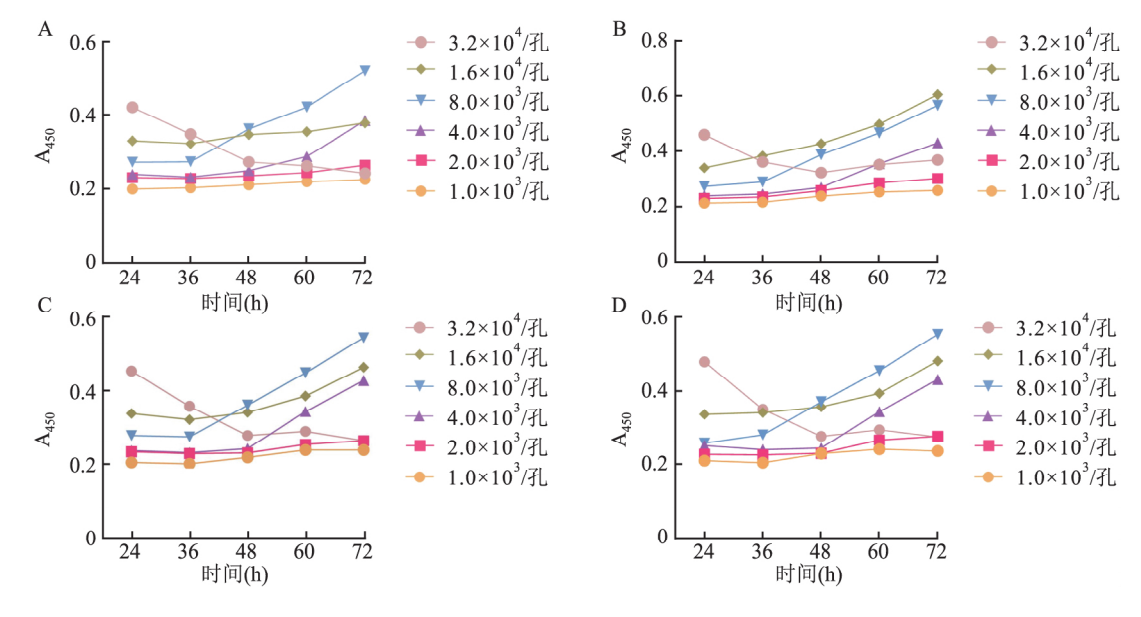
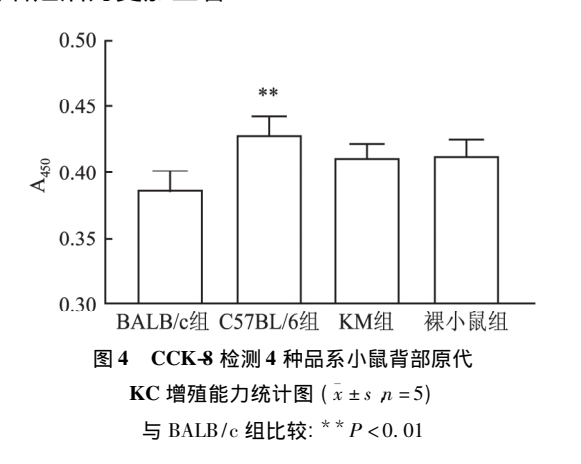


图 3 4 种品系小鼠背部原代 KC 以不同密度铺板后增殖活力的变化 $(\bar{x} \pm s \ n = 5)$ A – D: BALB/c、C57BL/6、KM、裸小鼠原代 KC 不同密度铺板后细胞活力统计图

太大可能导致细胞出现接触抑制现象 ,使得细胞贴壁能力下降 ,细胞活力下降。C57BL/6 来源的原代 KC 以 1.6×10^4 个/孔的密度铺板增殖效率较高 ,而以 3.2×10^4 个/孔的密度铺板时 ,此时的增殖活力稍低于以 1.6×10^4 个/孔的密度铺板的增殖活力(图 3)。

2.4 4 种品系原代 KC 增殖能力比较

2. 4. 1 CCK-8 实验 原代 KC 以 8×10^3 /孔的密度 铺板于 96 孔板 培养 60 h 后加 CCK-8 检测 450 nm 处的吸光度 实验结果见图 4 比较可知 C57BL/6 来源的原代 KC 较其他 3 种品系小鼠来源的原代 KC 其增殖活力更加显著。



2.4.2 EdU 实验 显微镜下观察统计 绿色与蓝色 荧光重合的即为 EdU 阳性细胞。随机选取 5 个高倍视野 Jmage J和 GraphPad Prism 软件统计 EdU 阳性细胞的百分率。EdU 法测细胞增殖实验结果显

示 在培养第 5 天时 ,C57BL/6 来源的原代 KC ,其 EdU 阳性细胞率高于 BALB/c、KM、裸小鼠来源的原代 KC。见图 5。

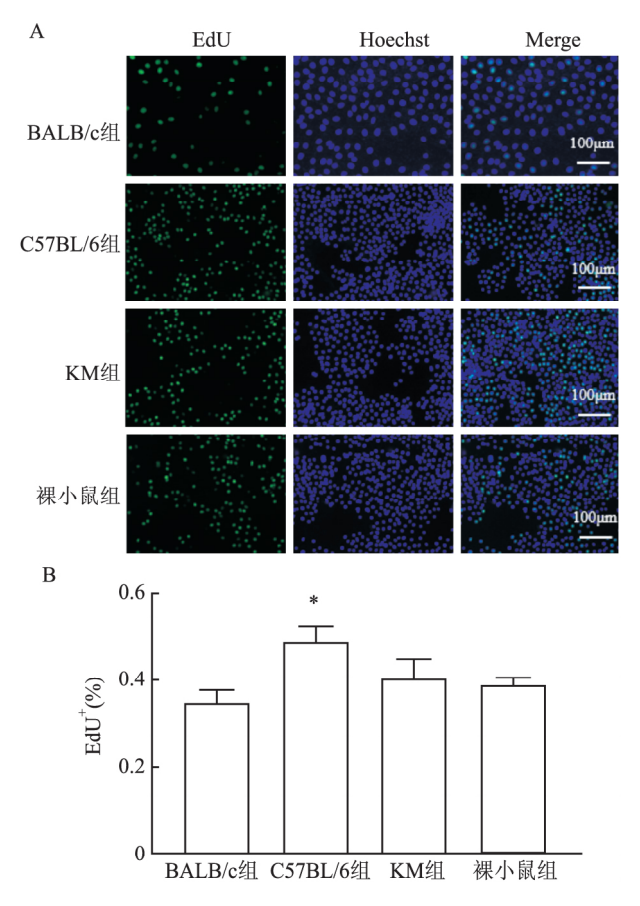


图 5 EdU 法测 4 种品系小鼠背部原代 KC 增殖能力($\bar{x} \pm s \ \mu = 5$) A: EdU 法测原代 KC 增殖能力镜下图 ×100; B: EdU 法测原代 KC 增殖统计图; 与 BALB/c 组比较: $^*P < 0.05$

2.4.3 高内涵实验 高内涵细胞成像法检测原代 KC 增殖能力 利用高内涵细胞成像软件分析系统 ,统计每孔细胞总数 ,通过比较细胞数量分析细胞增殖能力。结果如图 6 所示 ,C57BL/6 原代 KC 的增殖能力大于 BALB/c 原代 KC(P < 0.05) ,与 EdU 法结果一致 ,KM 和裸小鼠原代 KC 的增殖能力处于 C57BL/6 和 BALB/c 之间。

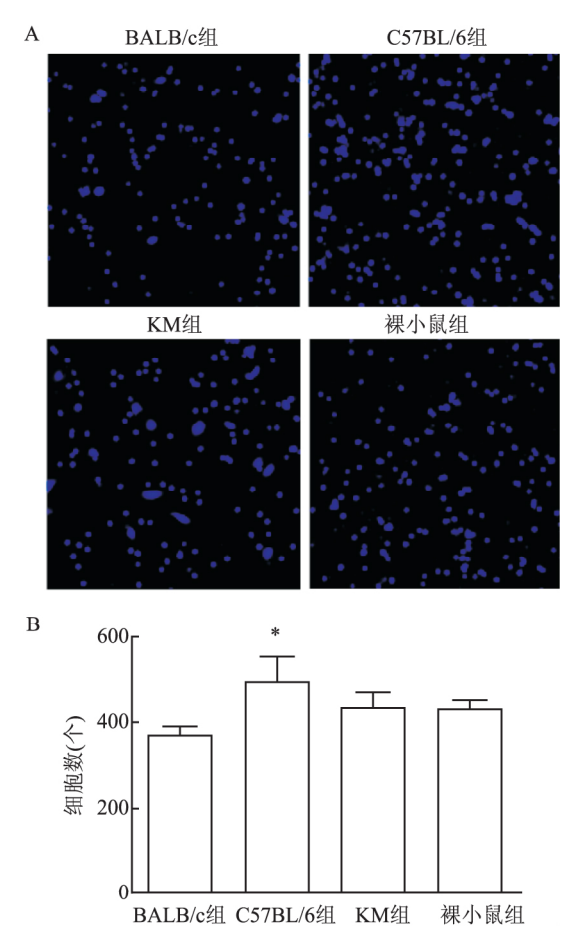


图 6 高内涵检测 4 种品系小鼠背部原代 KC 增殖能力($\bar{x} \pm s \ \mu = 5$) A: 高内涵法测原代 KC 增殖能力镜下图 $\times 50$; B: 高内涵法测原代 KC 增殖统计图; 与 BALB/c 组比较: $^*P < 0.05$

2.5 4 种品系成年小鼠背部皮肤原代 KC 分化程度比较 KC 是构成表皮的主要细胞成分 在体内处于不断增殖过程中,分裂的角化细胞主要位于其基底层,少数位于棘层。随着向表层的推移 细胞的分化程度逐渐增加,并丧失分裂活性。Western blot 检测分化特异性角蛋白 K1 表达情况,结果显示 4 种品系小鼠 K1 表达差异无统计学意义,说明提取的原代 KC 分化程度差异无统计学意义。见图 7。

3 讨论

KC过度增殖和角化异常是银屑病的病理表

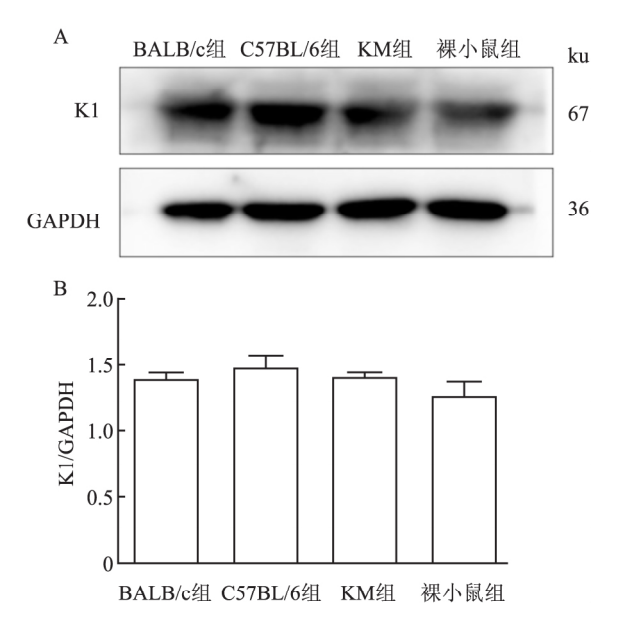


图 7 4 种品系小鼠背部原代 KC 角蛋白 K1 表达情况 $(\bar{x} \pm s \ n = 5)$ A: Western blot 检测 K1 蛋白表达情况; B: K1 蛋白表达统计图

现^[8] .创面愈合和皮肤屏障^[9-10] 也与 KC 密切相关,所以原代 KC 的提取和培养的实验技术是研究临床皮肤相关疾病的基础实验。 KC 是表皮的主要细胞类型 .其特点是在体外分裂率低 20 世纪 70 年代以来 .国内外学者经过多年的研究和探索 ,为解决原代 KC 体外增殖能力弱这一问题 .不断改进和优化提取及维持培养条件 .包括小鼠周龄、皮肤部位、消化酶、培养基、生长因子的优化等^[11-13] ,现在已经取得了很大进展。

小鼠周龄、皮肤部位、品系都会影响小鼠原代 KC 提取效率。新生小鼠皮肤提取的细胞产量高 ,表皮毛囊形成早期数量少 表皮和真皮分离难度较小 ,现已有较为完善的提取方式[5-6]。成年小鼠毛发呈周期性生长 ,分为生长期 ,衰退期 静止期 ,选择静止期小鼠(通常是6~12 周龄) 最佳; 成年小鼠背部皮肤很薄 表皮只有1~2 层 KC ,提取产量较低 ,而且毛囊密度较高表皮真皮分离困难; 尾部皮肤 KC 有3~5 层 ,毛囊密度低 ,表真皮分离易。由此可见 ,相比于新生小鼠 ,成年小鼠原代 KC 的分离和培养难度更大 ,但就长远的研究来看 ,克服成年小鼠原代 KC 分离培养的难题更具有意义。

该研究选择了 Lichti et al^[6]研究的成年小鼠背部皮肤提取方法,采用低钙无血清培养基,胰蛋白酶消化法(含 EDTA) 提取原代 KC ,EDTA 不仅能破坏细胞间连接促进细胞解离 ,也能减少胰蛋白酶对细胞的损伤。该实验主要研究常用的 4 种小鼠品系在该提取条件下 ,对原代 KC 的增殖和分化能力是否

有影响。选用常用的几种小鼠品系,BALB/c, C57BL/6 KM 和裸小鼠 ,比较了成年小鼠背部提取 原代 KC 的增殖、分化能力 结果显示与 C57BL/6 小 鼠比较 ,BALB/c 小鼠原代 KC 增殖活力较低 ,这一 结果提示 在 BALB/c 和 C57BL/6 中选择研究原代 细胞的相互作用时,C57BL/6 是较好的品系选择。 此外 在原代 KC 提取过程中,该研究表明需要使用 未反复冻融的胰蛋白酶 否则消化效果会变差 此外 皮肤组织包含表皮、真皮以及皮下脂肪组织 分离表 皮和真皮前需要把皮下脂肪组织清理干净,这直接 影响到表皮真皮分离时间和效果 比如 KM 小鼠皮 肤皮下脂肪组织较其他3种品系的厚,完全去除困 难 需要延长表皮真皮消化时间 该实验探究了不同 品系小鼠的最佳消化时间,为不同品系小鼠原代 KC 提取时间的选择提供一定实验依据,调整实验细节 从而获取高活力的原代细胞。在原代 KC 培养过程 中,该研究表明细胞增殖能力和接种细胞密度有关: 细胞密度太低 单个细胞增殖速度缓慢 后期细胞无 法增长死亡; 细胞密度过高 细胞贴壁效率低增值能 力低 加快细胞死亡速度。4 种成年小鼠背部原代 KC 铺板时都存在高密度铺板增殖抑制甚至不增殖, 低密度铺板增殖抑制的现象,所以适宜的铺板密度 会增加细胞存活率 优化铺板密度提高存活率。

综上所述,比较4种品系成年小鼠的增殖和分化能力,有助于为相关皮肤疾病提供技术基础,为提取原代 KC 的小鼠的品系选择提供实验依据。

参考文献

- [1] Hsu Y C , Li L , Fuchs E. Emerging interactions between skin stem cells and their niches [J]. Nat Med , 2014 , 20(8): 847 56.
- [2] Nguyen A V , Soulika A M. The dynamics of the skin's immune system [J]. Int J Mol Sci , 2019 , 20(8):1811.

- [3] Eckert R L. Structure, function, and differentiation of the keratinocyte [J]. Physiol Rev, 1989, 69(4):1316-46.
- [4] Griffiths C E , Barker J N. Pathogenesis and clinical features of psoriasis [J]. Lancet , 2007 , 370(9583): 263 -71.
- [5] Li F, Adase C A, Zhang L J. Isolation and culture of primary mouse keratinocytes from neonatal and adult mouse skin [J]. J Vis Exp , 2017 , (125):56027.
- [6] Lichti U, Anders J, Yuspa S H. Isolation and short-term culture of primary keratinocytes, hair follicle populations and dermal cells from newborn mice and keratinocytes from adult mice for in vitro analysis and for grafting to immunodeficient mice [J]. Nat Protoc, 2008, 3(5):799-810.
- [7] Orazizadeh M , Hashemitabar M , Bahramzadeh S , et al. Comparison of the enzymatic and explant methods for the culture of keratinocytes isolated from human foreskin [J]. Biomed Rep , 2015 , 3 (3):304-8.
- [8] 钟 维,王冬梅,刘家蕊,等.寻常型银屑病表皮细胞中 Sp1 的 表达及临床意义 [J].安徽医科大学学报,2020,55(10): 1583-7.
- [9] Wijeratne D, Rodger J, Stevenson A, et al. Ephrin-A2 affects wound healing and scarring in a murine model of excisional injury [J]. Burns, 2019, 45(3):682-90.
- [10] Zhang J, Wu J, Sun M, et al. Phospholipase C epsilon mediates cytokine cascade induced by acute disruption of epidermal permeability barrier in mice [J]. Biochem Biophys Rep, 2020, 24: 100869.
- [11] Vollmers A, Wallace L, Fullard N, et al. Two-and three-dimensional culture of keratinocyte stem and precursor cells derived from primary murine epidermal cultures [J]. Stem Cell Rev Rep, 2012, 8(2):402-13.
- [12] Kaighn M E, Camalier R F, Bertolero F, et al. Spontaneous establishment and characterization of mouse keratinocyte cell lines in serum-free medium [J]. In Vitro Cell Dev Biol, 1988, 24(8): 845-54.
- [13] Banerjee A , Biswas R , Lim R , et al. Scanning electron microscopy of murine skin ultrathin sections and cultured keratinocytes [J]. STAR Protoc , 2021 , 2(3):100729.

Comparative study on primary culture of four strains of mouse keratinocytes

Guan Yanling , Zhang Pingping , Chen Xiu , Jiang Liping , Wei Wei , Ma Yang

(Institute of Clinical Pharmacology , Anhui Medical University , Key Laboratory of Anti-inflammatory and
Immune Medicine Ministry of Education , Anhui Collaborative Innovation Center for Anti-inflammatory and
Immune Drugs , Rheumatoid Arthritis Research Center , Anhui Medical University , Hefei 230032)

Abstract *Objective* To isolate, culture and identify adult mouse dorsal keratinocyte (KC) *in vitro* and to compare of the proliferation and differentiation capabilities of four adult mouse dorsal skin KC. *Methods* Four kinds of adult mouse dorsal skin were taken, the subcutaneous adipose tissue was peeled, and KC was obtained by 0.25%

网络出版时间: 2023 - 05 - 31 10: 03: 29 网络出版地址: https://kns.cnki.net/kcms2/detail/34. 1065. R. 20230529. 1634. 018. html

骨形成蛋白7在 ESCC 中的表达及功能初步探究

孙梦菲' 黄红芳' 董宇航' 涨华坤'周紫茹'孙 琦' 管文燕'赵琳玥' 崔晓宾',陈云昭' 李 锋!

摘要 目的 分析骨形成蛋白 7(BMP7) 在食管鳞癌(ESCC) 中的表达和免疫浸润水平。方法 在 274 例 ESCC 及 242 例正常组织中应用免疫组织化学的形式验证 BMP7 的水平 探索其表达差异与 ESCC 患者生存周期及临床病理特征间的联系,并且建立 BMP7 过表达质粒转染 ESCC 细胞系,借助 CCK-8、Clone、Transwell 检验 BMP7 对 ESCC 细胞生物学行为的作用。结果 BMP7 在正常组织中表达高于 ESCC(P < 0.001),P < 0.0010)相关,且 BMP7 高表达患者生存期超过 BMP7 低的患者(P = 0.041),P < 0.0010,是CK-8、Clone 实验表明过表达 BMP7 组细胞增殖效果低于对照组,P < 0.0010,是CK-8、Clone 实验表明过表达 BMP7 组细胞增殖效果低于对照组,P < 0.0010,是不可以表达 BMP7 组细胞增殖效果低于对照组,P < 0.0010,是不可以表达 BMP7 组细胞增殖效果低于对照组,P < 0.0010,是不可以表达 BMP7 组细胞是资迁移能力小于对照组。免疫浸润结果显示 BMP7 与巨噬细胞呈正相关(P = 0.0010,与 P < 0.0010。11 细胞呈负相关(P < 0.0010。12 的图P7 在 ESCC 中低表达 且与患者不良预后和免疫浸润水平相关。

关键词 食管鳞癌; BMP7; 免疫; 预后中图分类号 R 735.1

2023 - 03 - 20 接收

基金项目: 国家自然科学基金(编号: 82160542、U1903305); 兵团财政科技计划项目(编号: 2020AB022); 医疗卫生科技计划项目(编号: 2019F004); 石河子大学高层次人才科研启动项目(编号: RCZX201535)

作者单位: 1 石河子大学医学院病理系 石河子 832002

2 南京大学医学院附属鼓楼医院病理科 南京 210008

3 苏州高新区人民医院病理科 苏州 215129

作者简介: 孙梦菲 ,女 ,硕士研究生;

李 锋 ,男 ,教授 ,主任医师 ,博士生导师 ,责任作者 ,E-mail: lifeng7855@ 126. com

文献标志码 A 文章编号 1000 – 1492(2023) 06 – 0995 – 07 doi: 10.19405/j. cnki. issn1000 – 1492.2023.06.020

骨形态发生蛋白(bone morphogenetics protein, BMP) 原为一种诱导骨组织形成的生长因子, 它的亚 型除 BMP1 是金属蛋白酶家族外 其余如 BMP7 等 均隶属转录生长因子 β(TGF-β) 超家族且具有典型 的半胱氨酸结构域[1]。近些年,有研究[2]表明 BMP7 与肿瘤高度相关,该分子在小细胞肺癌、结直 肠癌、胃癌、胰腺癌、卵巢癌、肝癌、食管癌等病理生 理机制中起着重要价值。食管癌作为全球病死率排 在第6位的恶性肿瘤,其中约一半是病理亚型为食 管鳞癌(esophageal squamous cell carcinoma, ESCC) 的中国人[2]。从正常食管到 ESCC 转化过程中,不 只癌细胞本身发生了改变,周围免疫微环境也发生 了变化,BMP7 可以通过抑制巨噬细胞和 CD4 * T 细胞来调节微环境中的促炎反应。但是 BMP7 在 ESCC 中研究较少且不一致亟待进一步探讨,该研 究从组织、细胞、生物信息学3个层次观察 BMP7在 ESCC 的表达与临床病理指标和生存的关系,免疫 细胞的相关性 通路富集分析等探寻 BMP7 与 ESCC 产生的分子机制[3-4]。

1 材料与方法

1.1 主要材料 EC9706(ESCC 细胞系)来源于中国科学院细胞库; DAB 染色液试剂盒(北京中杉金

trypsin digestion; KC were identified using immunofluorescence method , cell growth status was observed under microscopy , different seed plate times and densities were designed , and cell proliferation viability was detected by CCK-8 , EdU and high connotation method. Four adult mouse KC differentiation was detected by Western blot. *Results* Trypsin digestion was used to extract four strains of adult mouse back skin KC , and the Kunming (KM) mice had the lowest number of KC and C57BL/6 to extract the highest number of cells for the same area of skin tissue. BALB/c , KM , and nude mouse had higher plate-laying efficiency at a density of 8×10^3 /well , respectively , and C57BL/6 had higher plate-laying efficiency at a density of 1.6×10^4 /well. Among the four strains of mice , the primary KC of BALB/c mice was weaker than that of C57BL/6 mice , and there was no statistical difference in the degree of differentiation. *Conclusion* The proliferation and differentiation capacity of four adult mouse primary KC on the dorsal skin is successfully isolated and compared by a simple and easy method , which provided a certain experimental basis for the strain selection of mice with skin-related diseases.

Key words keratinocytes; primary culture; mouse epidermis; proliferation; differentiation